

مروزی بر نانو حباب‌ها: روش‌های تولید، ویژگی‌ها و مطالعات محاسباتی

معصومه فروتن^۱، مریم حمزه جونقانی^۲

استاد گروه شیمی فیزیک، دانشکده شیمی، پردیس علوم، دانشگاه تهران، ایران

^۳دانشجوی کارشناسی ارشد گروه شیمی فیزیک، دانشکده شیمی، پردیس علوم، دانشگاه تهران، ایران

چکیده

نانو حباب‌ها، حباب‌های با ابعاد نانو هستند که می‌توانند بر سطوح جامد و یا در محلول تشکیل شوند. از این رو کاربردهای مهمی در بسیاری از فرایندهای فیزیکی و شیمیابی و زیستی دارند. درک ویژگی‌های اساسی حباب‌ها مانند پایداری، رشد و انحلال آن‌ها می‌تواند در کاربردهای بیشتر آن‌ها کمک کند. در سال‌های اخیر مطالعات تجربی و نظری بسیاری در حوزه‌ی نانو‌حباب‌ها انجام شده است. در این مقاله‌ی مروزی، روش‌های تولید نانو‌حباب‌ها، کاربردهای پایداری و طول عمر و برخی از ویژگی‌های آن‌ها به صورت تجربی و نظری به ویژه با رویکرد شبیه‌سازی دینامیک مولکولی ارائه شده است.

واژه‌های کلیدی: نانو حباب‌های سطحی، پایداری نانو حباب‌ها، شبیه‌سازی دینامیک مولکولی

ایمیل نویسنده‌ی مسئول: Foroutan@khayam.ut.ac.ir

۱- مقدمه

ایجاد حباب فعالیت لذت‌بخشی است که همه‌ی ما در دوران کودکی خود تجربه کرده‌ایم. یک مثال واضح، دمیدن هوا به داخل مایع است که مقداری انرژی یا کار برای غلبه بر اثر کشش سطحی لازم است تا حباب ایجاد شود. انرژی کلی سطح حباب را می‌توان با به حداقل رساندن سطح، کاهش داد و حباب کوچکی به شکل کره ایجاد می‌شود. کره شکلی است که کمترین سطح را برای حجم معینی از گاز دارد. نانو حباب‌ها در واقع فضاهای خالی یا پر از گاز هستند که به شکل یک کلاهک کروی با ارتفاعی تا ۵۵۰ نانومتر و قطر جانبی در محدوده صدها نانومتر تا چندین میکرومتر در فصل مشترک جامد-مایع مشاهده شده‌اند. نانو حباب‌ها، اولین بار توسط پارکر^۱ و همکارانش در سال ۱۹۹۶ برای توضیح جاذبه‌ی بلندبردی که بین سطوح آب‌گریز در محلول‌های آبی وجود داشت، مطرح شدند^[۱]. کمی بعد دو گروه ایشیدا^[۲] و لویی^[۳] توانستند در سال ۲۰۰۰ با کمک میکروسکوپ نیروی اتمی در مدل تماسی^۴ نانو‌حباب‌های سطحی را به تصویر درآورند. پس از آن گروه‌های متفاوتی با بهره‌گیری از میکروسکوپ نوری و طیف‌سنجی، وجود نانو‌حباب‌های سطحی و ماهیت گازی آن‌ها را تایید کردند. در این مقاله‌ی مروزی به صورت تجربی و شاخه‌های متفاوت علم نظری مانند شبیه‌سازی دینامیک مولکولی به بررسی نانو حباب‌ها می‌پردازیم. ابتدا به روش‌های پرکاربرد تولید

¹ Parker

² Ishida

³ Lou

⁴ Tapping mode atomic force microscopy

نانو‌حباب‌ها اشاره شده است سپس، عوامل موثر بر پایداری نانو‌حباب‌ها بیان شده است.

۲- روش‌های تولید نانو‌حباب‌ها

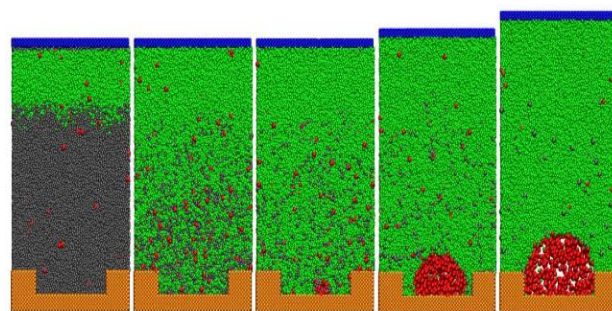
۲-۱- فرایند تبادل حلال

از جمله روش‌های پرکاربرد برای تشکیل نانو‌حباب‌ها، فرایند تبادل حلال است^{[۴] و [۵]}. اولین آزمایش در این زمینه توسط لوہس^۰ و همکارانش انجام شده است^[۳]. آن‌ها از اتانول برای تمیز کردن سطوح جامد استفاده کردند و بعد از تزریق آب برای تبادل با اتانول توانستند نانو‌حباب‌ها را بر روی بستر مشاهده کنند. علاوه بر اتانول، سایر حلال‌های آبی مانند متانول و ایزوپروپانول در فرایند تبادل حلال به کار می‌روند. دیگر فرایندهای مبادله مانند تبادل آب سرد با آب گرم^[۶] و محلول اتانول با محلول نمک^[۷] برای تولید نانو‌حباب‌ها موقوفیت‌آمیز بوده است. همچنین فرایند تبادل حلال می‌تواند برای تولید نانو‌حباب‌های سطحی^{[۸] و [۹]} در فصل مشترک مایع-جامد و حتی یک ماده امتصاص ناپذیر استفاده شود. از این رو مکانیسم هسته‌زایی نانو‌حباب‌ها مورد توجه بسیاری از پژوهشگران قرار گرفته است. کیانشیانگ^۱ و همکارانش ویژگی‌های دینامیکی فرایند تبادل حلال را برای تولید نانو‌حباب‌ها به کمک شبیه‌سازی دینامیک مولکولی مورد بررسی قرار دادند. که در شکل ۱ نشان داده شده است^[۱۰].

⁵ Lohse
⁶ Qianxiang

مناطقی را دارند که عمل جراحی در آنها دشوار است. همچنین طراحی نانوذرات به گونه‌ای است که می‌توانند به طور انتخابی به غشای سلول‌های تومور متصل شوند و با قرارگیری در معرض لیزر، نانوحباب‌های تولید می‌کنند که به طور مکانیکی به غشای سلولی آسیب می‌رسانند و سلول‌های تومور را از بین می‌برند. بنابراین از نانو ذرات طلا به دلیل خواص شیمیایی، بیولوژیکی [۲۳]، هدایت خوب گرما و نور در روش‌های تجربی [۲۴ و ۲۵] و علوم نظری برای مطالعه پدیده‌های انتقال حرارت مرتبط با نانو ذرات به کمک شبیه‌سازی دینامیک مولکولی استفاده شده است [۲۶]. نانو ذرات را می‌توان با قرار دادن در معرض لیزرهای پرقدرت [۲۱ و ۲۲] و حتی با تابش مستقیم نور خورشید [۱۳ و ۱۴] گرم کرد.

شناخت دقیق مکانیسم تولید نانوحباب‌ها می‌تواند پدیده‌های جالبی را در ارتباط با انتقال حرارت و تغییر فاز در مقیاس نانو نشان دهد. البته پژوهش‌های مشابهی در شبیه‌سازی دینامیک مولکولی انجام شده است که چنین آزمایشاتی را تقلید می‌کند. ساسیکومار^{۱۴} و همکارانش به کمک شبیه‌سازی دینامیک مولکولی از تشکیل یک نانو حباب بخار هنگامی که دمای مایع اطراف نانو ذره تقریباً ۹۰ درصد دمای بحرانی باشد، خبر دادند [۲۷]. مرابیا^{۱۵} و همکارانش به کمک شبیه‌سازی نشان دادند که یک نانو ذره کروی که کاملاً در مایع غوطه‌ور است در دمای بالاتر از دمای ذوب مایع گرم می‌شود [۲۸]. تشکیل یک نانو حباب فرایندی بسیار زودگذر است که پس از شکل‌گیری متلاشی می‌شود. از طرفی سینتیک شکل‌گیری و فروپاشی نانوحباب‌ها به صورت تجربی بررسی نشده است که عمدتاً به دلیل دشواری در توصیف دقیق خصوصیات انتقال فاز مایع-بخار در نزدیکی سطح نانو ذرات است. بنابراین طراحی آزمایشات برای درک فیزیک این پدیده و مشاهده خصوصیات آن یک کار چالش برانگیز است. لومبارد^{۱۶} و همکارانش به تازگی توانستند شبیه‌سازی مبتنی بر سینتیک تولید نانوحباب‌ها را در اطراف نانو ذرات گرم شده انجام دهند [۲۹] و گزارش کردند که در جریان شبیه‌سازی ابتدا نانو حباب بخار شکل می‌گیرد، سپس منبسط و در آخر متلاشی می‌شود. شانتانو^{۱۷} و همکارانش تاثیر گاز محلول در تشکیل نانو حباب در دمای بالاتر از دمای بحرانی مایع اطراف نانوذره گرم شده را به کمک شبیه‌سازی دینامیک مولکولی گزارش کردند [۳۰] که در شکل ۲ نشان داده شده است.



شکل ۱. هسته‌زنی نانوحباب با کمک فرایند تبادل حلال [۱۰]

شکل ۱ هسته‌زنی نانوحباب‌ها را در فرایند تبادل حلال به کمک شبیه‌سازی دینامیک مولکولی نشان می‌دهد که ذرات سیز آب، خاکستری اتانول، قرمز گاز، آبی بستر بالایی و نارنجی بستر پایینی است. همان طور که شکل نشان می‌دهد وقتی از سمت چپ به راست حرکت می‌کنیم آب با اتانول جایگزین می‌شود و تعداد مولکول‌های گاز در توده محلول افزایش می‌یابد. بدین ترتیب اشباع بیش از حد گاز در نزدیکی بستر نسبت به فاصله‌های دورتر از آن منجر به هسته‌زنی نانوحباب‌ها بر بستر آب گریز پایینی می‌شود.

۲-۲- افزایش دمای بستر:

انتقال حرارت در موضوعات بنیادی و تکنولوژیکی با مقیاس میکرون به تازگی توجه بسیاری از پژوهشگران را به خود جلب کرده است. گسترش سریع این موضوع تا حد زیادی با توسعه‌ی فناوری‌های نانو همراه شده است. بر این اساس تبادل گرما بین یک نانو ذره‌ی جامد و مایع اطراف آن موضوعی مهم در بحث انتقال حرارت با مقیاس نانو است. علاوه بر این نانو ذرات فلزی می‌توانند به عنوان منبع گرمای موضعی در مقیاس نانومتر عمل کنند. از این رو در زمینه‌های متفاوتی مانند واکنش‌های کاتالیزوری [۱۱ و ۱۲]، تبدیل انرژی خورشیدی [۱۳ و ۱۴]، رشد گیاه و جوانه‌زنی بذر^۷ [۱۵ و ۱۶]، شناورسازی^۸ [۱۷]، تصفیه‌ی آب^۹ [۱۸ و ۱۹]، تمیز کردن سطوح [۲۰] و پزشکی مانند انتقال دارو، تصویربرداری، درمان سرطان^{۱۰} [۲۱ و ۲۲]، درمان‌های فوتوترمال^{۱۱} و هایفوتروپی^{۱۲} کاربرد دارند.

روش‌های درمان حرارتی نسبت به روش‌های متداول برای معالجه^{-۱} سرطان چندین مزیت دارند. از جمله این که غیرتهاجمی^{۱۳} و ساده هستند و پتانسیل درمان تومورهای جاسازی شده در

⁷ Seed germination

⁸ Froth flotation

⁹ Water remediation

¹⁰ Cancer treatment

¹¹ Photothermal therapy

¹² Hippotherapy

¹³ Noninvasive

¹⁴ Sasikumar

¹⁵ Merabia

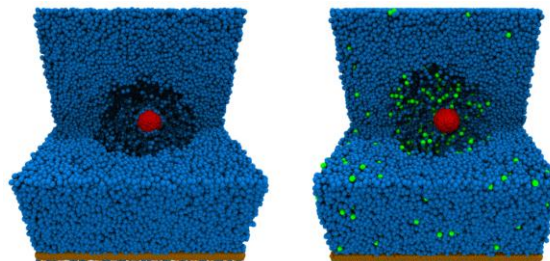
¹⁶ Lombard

¹⁷ Shantanu

شش لایهٔ داخلی (صورتی) به عنوان منبع حرارت و یک لایهٔ خارجی (بنفش) همانند ترموموستات عمل می‌کند. فضای بین بستر بالا و پایین با اتم‌های آرگون سبز رنگ پر شده است. طبق شکل، هستهٔ اولیهٔ نانو حباب بخار در ۱۰۰ پیکوثانیه بر روی بستر پایینی که شیاردار است، تشکیل می‌شود و با گذشت زمان اندازهٔ موقعیت مکانی آن تغییر می‌کند تا تعادلی بین حرکت اتم‌های آرگون در داخل و خارج نانو حباب بخار ایجاد شود.

۳-۲- الکتروشیمیایی

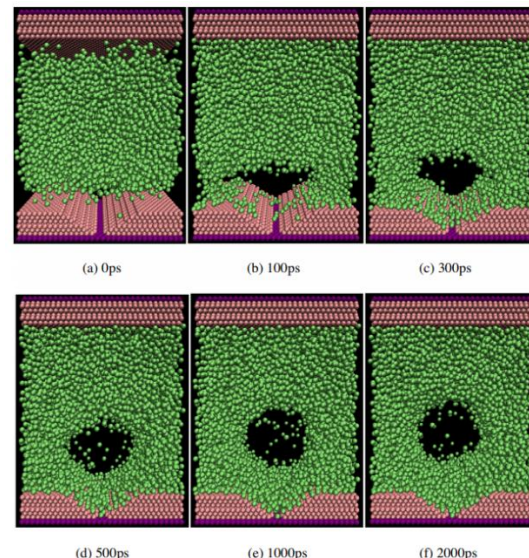
تولید الکتروکاتالیستی نانو حباب‌ها نقش مهمی در فرایندهایی مانند کاهش سوخت با کاهش کربن‌دی‌اکسید^[۳۲]، تشکیل نانو حباب هیدروژن^[۳۳]، اکسیداسیون الکتریکی متابولو^{[۳۴] و ^[۳۵] و سنتز صنعتی کلر^[۳۶] دارد. تشکیل نانو حباب‌های گاز در فصل مشترک الکترود و الکتروولیت^{[۳۷] و ^[۳۸] آثار مخربی دارد که می‌توان به کاهش کارایی فرایندهای الکتروشیمیایی به دلیل مسدود شدن سطوح کاتالیزوری و افزایش بیش از حد انرژی پتانسیل واکنش اشاره کرد^[۴۲-۴۹]. درک مولکولی مکانیسم‌ها و عواملی که تشکیل، انحلال و رفتار الکتروشیمیایی نانو حباب‌های گاز را کنترل می‌کنند، در طراحی فرایندهای الکتروشیمیایی حائز اهمیت است. در همین راستا تولید نانوچسب گازهای اکسیژن، هیدروژن و نیتروژن بر نانوالکترودهایی با شعاع ۹ تا ۲/۵ نانومتر گزارش شده است^{[۴۳] و ^[۴۴] و در همهٔ آن‌ها وقتی که مقدار گاز در سطح الکترود به حد اشباع برسد، نانو حباب تشکیل می‌شود. اخیراً مطالعات چن^[۲۰] و همکارانش ثابت کرده است که مقدار گاز اشباع شده مورد نیاز برای هسته‌زایی نانو حباب‌ها بر روی سطح الکترودهای طلا، پلاتین و پالادیوم یکسان است^{[۴۵] و ^[۴۶]. روش‌های تجربی به طور واضح نتایجی را در مورد چگونگی و محل ایجاد نانوچسب‌ها، شکل و اندازهٔ آن‌ها در حالت ساکن نشان نمی‌دهند. علیرغم چندین مطالعهٔ محاسباتی، شبیه‌سازی دینامیک مولکولی روشی ایده‌آل برای حل این مسئله است. یامیلا^[۲۱] و همکارانش با انجام شبیه‌سازی دینامیک مولکولی توانستند مراحل ایجاد نانوچسب بر سطح الکترود را گزارش کنند^[۴۷] که در شکل ۳ نشان داده شده است.}}}}



شکل ۲. نمایش نانو حباب بخار برای مایع تک جزئی (چپ) و در حضور گاز محلول در مایع (راست) [۳۰]

در شکل ۲ تشکیل نانو حباب اطراف نانوذره جامد گرم شده برای دو حالت نشان داده شده است. تصویر سمت چپ مایع تک جزئی و راست در حضور گاز محلول است. ذرات آبی مایع، سبز گازی، قرمز و قهوه‌ای به ترتیب نانو ذره‌ی مرکزی و دیواره را نشان می‌دهند. افزایش دمای نانو ذره‌ی مرکزی باعث ایجاد نانو حباب بخار در اطراف آن می‌شود. افزودن گاز باعث کاهش دمای مایع اشباع می‌شود در نتیجه هسته‌زایی نانو حباب‌ها در دماهای پایین‌تر نسبت به مایع خالص اتفاق می‌افتد.

شیائوئی^[۱۸] و همکارانش با استفاده از شبیه‌سازی دینامیک مولکولی نحوهٔ تشکیل نانوچسب را درون آرگون مایع بر روی سطح پلاتین گزارش کردند^[۳۱] که در شکل ۳ نشان داده شده است.



شکل ۳. مراحل تشکیل هسته‌ی نانو حباب و رشد آن [۳۱]

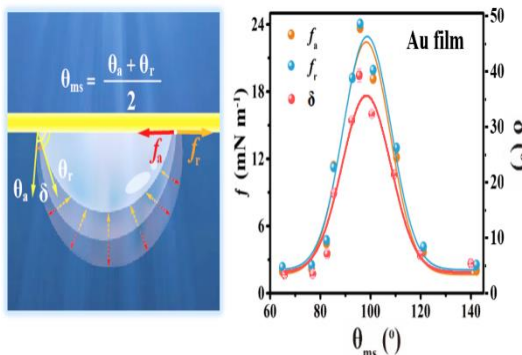
شکل ۳ نشان دهندهٔ مراحل تشکیل نانو حباب و رشد آن است. همان‌طور که شکل نشان می‌دهد هر دو بستر بالا و پایین از هفت لایهٔ پلاتین با اف سی سی^[۱۹] (۱۱۱) تشکیل شده است که

^{۱۸} She

^{۱۹} Face centered cubic

^{۲۰} Chen

^{۲۱} Yamila



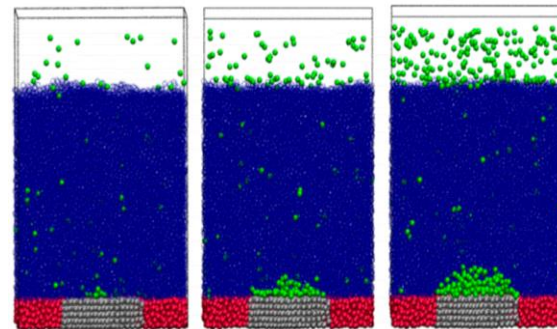
شکل ۵. نمایش انواع زاویه تماس و نیروهای چسبندگی(چپ) و نمودار نیروهای چسبندگی جانبی نانو حباب سطحی بر روی فیلم طلا(راست) [۴۸]

در تصویر سمت چپ شکل ۵، زاویه تماس افزایشی، کاهشی و نیروهای چسبندگی^{۲۸} متناظر با هریک که به ترتیب f_a و f_r است و بر خط تماس سه فازی^{۲۹} وارد می‌شود، نشان داده شده است θ_{ms} ، میانگین زاویه تماس افزایشی و کاهشی تعریف شده است و زاویه تماس هیستریس^{۳۰} (δ)، تفاصل بین آن دو است. در تصویر سمت راست زاویه تماس هیستریس، نیروهای چسبندگی افزایشی و کاهشی نانو حباب به عنوان تابعی از θ_{ms} رسم شده است. طبق نمودار اگر θ_{ms} برابر 90° درجه باشد، نیروهای چسبندگی به حداقل مقدار خود می‌رسند که در این حالت بستر فوق العاده چسبندگی است و از حرکت جانبی نانو حباب جلوگیری می‌کند در نتیجه حرکت نانو حباب بسیار کند خواهد بود.

محاسبه‌ی زاویه تماس برای بررسی و توصیف رفتار ترشوندگی قطرات نانو بر سطوح متفاوتی مانند ناهمگن شیمیایی^[۴۹]، ناهموار^[۵۰] و نانویی مانند گرافن^[۵۱] در شبیه‌سازی دینامیک مولکولی استفاده شده است.

۲-۳- خط تماس سه فازی

به گفته‌ی Liu^{۳۱} و همکارانش ناهمگنی سطح می‌تواند منجر به تشییت خط تماس سه فازی شود که برای پایداری نانو حباب‌های سطحی بسیار مهم است^[۵۲]. از این رو جینگ کیان^{۳۲} و همکارانش به طور تجربی نشان دادند که نانو حباب‌ها می‌توانند در شرایط اشباع نشده ساعتها پایدار بمانند^[۵۳]. مشابه این پژوهش‌ها شانتانو^{۳۳} و همکارانش توانستند پایداری نانو حباب



شکل ۶. شکل گیری نانو حباب سطحی بر روی سطح الکترود [۴۷]

شکل ۶ نشان دهنده‌ی مراحل شکل‌گیری نانو حباب بر روی سطح الکترود است. که ذرات آبی مایع، سیز گاز، طوسی الکترود و قرمز بستر است. از سمت چپ به راست سه مرحله‌ی (الف) القای، (ب) هسته‌زایی و رشد حباب، (ج) حالت ساکن و پویایی نشان داده شده است که روابط بین مولکولهای گاز و آب برای جذب شدن بر روی سطح الکترود منجر به ایجاد نانو حباب می‌شود.

۳- عوامل موثر بر پایداری نانو حباب‌ها

۳-۱- اثر کشش سطحی بر زاویه تماس

نانو حباب‌های سطحی در آزمایشگاه می‌توانند برای چند روز پایدار بمانند. چنین پایداری طولانی مدتی بحث برانگیز و متناقض با نتایج نظری Ljunggren^{۲۲} و همکارانش است که طول عمری کوتاه بین ۱ تا ۱۰۰ میکروثانیه را برای نانو حباب‌های کوچک منفرد با شعاع بین ۱۰ تا ۱۰۰ نانومتر نشان می‌دهد. Jingeshan^{۲۳} و همکارانش رفتار ترشوندگی نانو حباب را بررسی و گزارش کردند^[۴۸] که زاویه تماس^{۳۴} نانو حباب معمولاً در محدوده‌ی زاویه تماس افزایشی^{۳۰} (θ_a) و کاهشی^{۳۶} (θ_r) نوسان می‌کند و با محاسبه‌ی پایدارترین زاویه تماس^{۳۷} (θ_{ms})، می‌توان رفتار دینامیکی نانو حباب را توصیف کرد که در شکل ۵ نشان داده شده است.

²⁸ Adhesion force

²⁹ Three-phase contact line

³⁰ Contact angle hysteresis

³¹ Liu

³² Jing

³³ Shantanu

²² Ljunggren

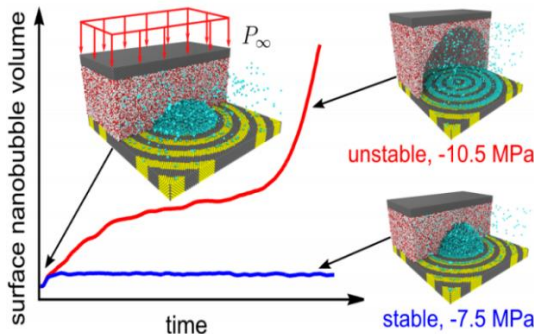
²³ Jingeshan

²⁴ Contact angle

²⁵ Advancing contact angle

²⁶ Receding contact angle

²⁷ Most-stable contact angle



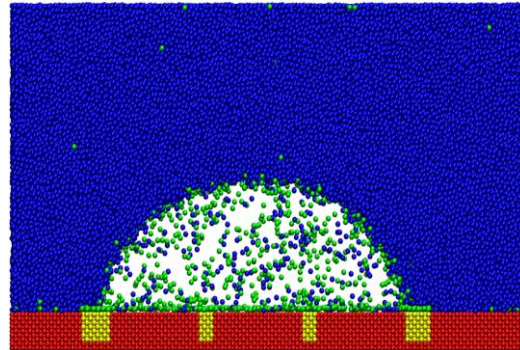
شکل ۷. نمایش آستانه فشار خارجی بحرانی برای نانو حباب سطحی
نیتروژن [۵۶]

شکل ۷ نشان دهنده آستانه فشار خارجی برای نانو حباب سطحی نیتروژن است که اتمهای قرمز اکسیژن، سفید هیدروژن، فیروزه ای نیتروژن، خاکستری و زرد به ترتیب بسترهای آبدوست و آبگریز هستند. یک محدوده از افت فشار به کار برده شده است که در $7/5$ - $10/5$ مگاپاسکال پایدار و در $10/5$ - $10/5$ مگاپاسکال ناپایدار است.

۴-۳ ماهیت پستر

سطح فوق آبگریز با زاویه تماس بیشتر از ۱۰۵ درجه مشخص می‌شود و زاویه تماس کمتر از ۱۰ درجه یک سطح فوق آب‌دوست تعریف می‌شود. در سال‌های اخیر، رفتار ترشوندگی منحصر به فرد بسیاری از سطوح مانند دستگاه‌های حمل و نقل، مبدل‌های حرارتی و رگ‌های خونی مورد توجه قرار گرفته است. درواقع نانو حباب‌های هوا، داخل آب باعث انسداد در انتقال مایعات می‌شوند [۵۷-۵۹]. طبق گزارشات نانوچباب‌های هوا اغلب به سطوح فوق آبگریز متصل می‌شوند و برای ایجاد سطوح ضد حباب از سطوحی با قابلیت ترشوندگی فوق آب‌دوست استفاده شده است که نانو حباب‌ها مانند قطرات روغن در آب رفتار می‌کنند [۶۰-۶۲]. در همین راستا بررسی مکانیسم چسبندگی و جدا شدن نانوچباب از سطح، جینیونگ^{۳۷} و همکارانش موفق به ساخت لوله‌ی پلی‌دی‌متیل‌سیلوکسان فوق آب‌دوست شدند [۶۳] که در شکل ۸ نشان داده شده است. در زمینه پلیمرها به کمک شبیه‌سازی دینامیک مولکولی پژوهش‌های انجام شده است که می‌توان به مواردی مانند بررسی رفتار ترشوندگی بسپارها [۶۴]، مقایسه‌ی انواع پلیمر [۶۵] و تقویت استحکام پلیمر [۶۶] اشاره کرد.

سطحی را بر یک سطح ناهمنگ شیمیایی به کمک شبیه‌سازی دینامیک مولکولی بازسازی کنند [۵۴] که در شکل ۶ نشان داده شده است.



شکل ۶. نمایش نانو حباب سطحی بر روی یک سطح ناهمگن
[۵۴] شیمیابی

شکل ۶ نشان دهنده نانو حباب سطحی بر روی یک سطح ناهمگن شیمیایی است که ذرات آبی مایع، سبز گاز و قرمز سطح جامد را نشان می‌دهند. قسمت‌های ناهمگن شیمیایی با رنگ زرد به عنوان مکان‌های پین^{۳۴} عمل می‌کنند که منجر به تثبیت خط تماس سه فازی و پایداری نانو حباب سطحی می‌شوند.

۳-۳- فشار خارجی

در محلولهایی که از گاز اشباع هستند، پایداری نانو حباب‌های سطحی می‌تواند به تعادل بین فشار لایپلاس و فشار فوق اشباع آن گاز وابسته باشد که منجره تثبیت نانو حباب در خط تماس سه فازی می‌شود. ویتالی^{۵۰} و همکارانش چگونگی تاثیر فشار بر پایداری نانوحباب‌های سطحی را مورد بررسی قرار دادند^[۵۵] و با تحلیل و بررسی نمودارهای انرژی آزاد گیس توانستند دیگر ویژگی‌های ترمودینامیکی نانو حباب را بدست آورند. از طرفی به طور تجربی نشان داده شده است که نانو حباب‌های سطحی در فشار منفی ۶ مگاپاسکال پایدار و در مقادیر کمتر از آن ناپایدار هستند. در همین راستا دانکن^{۳۳} و همکارانش به کمک شبیه‌سازی دینامیک مولکولی آستانه‌ی کاویتاسیون تانسور فشار خارجی بحرانی را برای نانوحباب سطحی نیتروژن که در آب غوطه‌ور در است، گزارش کردند^[۵۶] که در شکل ۷ نشان داده شده است.

34 Pin sites

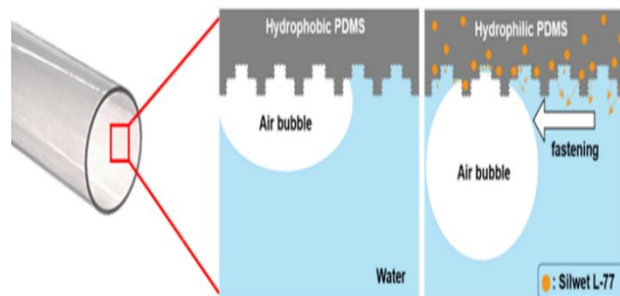
35 Vitaly

36 Duncan

دلیل محدودیت‌های روش‌های تجربی، درک اساسی برخی جنبه‌ها هنوز ناکافی است. از این رو شبیه‌سازی دینامیک مولکولی ابزار قدرتمندی برای حل این مسئله است و می‌تواند برای رد یا تایید نتایج تجربی استفاده شود که به مواردی از آن در متن اشاره شد. همچنین، به کمک آن می‌توانیم اطلاعات خوبی در مورد اتفاقاتی که در سیستم‌های پرکاربرد مانند پزشکی، کشاورزی، تصفیه‌ی آب و غیره می‌افتد، داشته باشیم. بنابراین، با توجه به موقوفیت شبیه‌سازی دینامیک مولکولی در بازسازی رفتار نانوحباب‌ها، انتظار می‌رود فناوری نانو حباب‌ها بتواند آینده‌ی درخشانی داشته باشد.

۵. منابع

- [1] J.R. Seddon, D. Lohse, *J. Phys. Condens. Matter*, 23, 133001–133023, (2011).
- [2] N. Ishida, T. Inoue, M. Miyahara, K. Higashitani, *Langmuir*, 16, 6377–6380, (2000).
- [3] S.T. Lou, Z.Q. Ouyang, Y. Zhang, X.J. Li, J. Hu, M.Q. Li, F.J. Yang, *J. Vac. Sci. Technol. B*, 18, 2573–2575, (2000).
- [4] M.A. Hampton, B.C. Donose, A.v. Nguyen, *J. Colloid. Interface. Sci.*, 325, 267–274, (2008).
- [5] S. Peng, T.L. Mega, X. Zhang, *Langmuir*, 32, 11265–11272, (2016).
- [6] M. Guan, W. Guo, L. Gao, Y. Tang, J. Hu, Y. Dong, *Chem Phys Chem*, 13, 2115–2118, (2012).
- [7] W. Guo, H. Shan, M. Guan, L. Gao, M. Liu, Y. Dong, *Surf. Sci.*, 606, 1462–1466, (2012).
- [8] X.H. Zhang, W. Ducker, *Langmuir*, 23, 12478–12480, (2007).
- [9] Z. Lu, S. Peng, X. Zhang, *Langmuir*, 32, 1700–1706, (2016).
- [10] J.R. Adleman, D.A. Boyd, D.G. Goodwin, D. Psaltis, *Nano Lett*, 9, 4417–4423, (2009).
- [11] P. Christopher, H. Xin, S. Linic, *Nat. Chem*, 3, 467–472, (2011).
- [12] O. Neumann, A. Urban, J. Day, S. Lal, P. Nordlander, N.J. Halas, *ACS nano*, 7, 42–49, (2013).
- [13] A. Polman, *ACS Nano*, 7, 15–18, (2013).
- [14] A.K. Ahmed, X. Shi, L. Hua, L. Manzueta, W. Qing, T. Marhaba, W. Zhang, *J. Agric. Food Chem*, 66, 5117–5124, (2018).



شکل ۸. پلی‌دی‌متیل‌سیلوکسان آب‌دost(چپ) و آب‌گریز(راست) [۶۳].
شکل ۸ برشی از دیواره‌ی داخلی لوله‌ی پلی‌دی‌متیل‌سیلوکسان را نشان می‌دهد که داخل آن آب جریان دارد. تصویر سمت چپ پلی‌دی‌متیل‌سیلوکسان(طوسی) آب‌گریز است و نانوحباب سفید رنگی به سطح آن چسبیده است که با افروden سورفکتانت سیلیکونی که با رنگ نارنجی در تصویر سمت راست نشان داده شده است، ماهیت ترشوندگی بستر از آب‌گریزی به آب‌dostی تغییر می‌کند و نانوحباب از سطح جدا می‌شود.

۵-۳- لایه‌ی آلدگی

داکر^{۳۸} پیشنهاد کرد که لایه‌ی نازکی از آلدگی در فصل مشترک گاز‌مایع تشکیل می‌شود که از خروج گاز درون نانو حباب جلوگیری می‌کند و با کاهش کشش سطحی، زاویه تماس حباب را افزایش می‌دهد در نتیجه شعاع نانو حباب تثیت می‌شود^[۶۷]. از طرفی دس^{۳۹} و همکارانش معتقد بودند که تأثیر آلدگی یونی و غیریونی بر کاهش کشش سطحی می‌تواند زاویه تماس بالا را توجیح کند اما برای توضیح پایداری طولانی مدت نانو حباب‌های سطحی کافی نیست^[۶۸]. کمی بعد ژانگ^{۴۰} و همکارانش شواهد تجربی علیه نظریه آلدگی داکر ارائه دادند^[۶۹] که نشان می‌دهد پایداری نانوحباب‌ها حتی پس از شستشوی مواد احتمالی جذب شده در فصل مشترک گاز‌مایع، باقی می‌ماند. سورفکتانتها از قسمت‌های آب‌dost و آب‌گریز تشکیل شده‌اند. همین ویژگی سبب شده است تا بر هم کشش‌های سورفکتانت^[۷۰] و^[۷۱]، تاثیر دما بر محلول‌های آبی سورفکتانه‌های یونی و غیریونی^[۷۲] و در جداسازی آب از روغن^[۷۳]، به کمک شبیه‌سازی دینامیک مولکولی مورد بررسی قرار بگیرند.

۴. نتیجه‌گیری

نانو حباب‌ها با ابعاد و ویژگی‌های خاص در زمینه‌های متفاوتی کاربرد دارند که درک درست و دقیق از مکانیسم‌ها و عواملی که تشکیل، انحلال، پایداری و طول عمر آنها را کنترل می‌کنند در طراحی و پیشرفت فرایندها بسیار حائز اهمیت است. از طرفی به

³⁸ Ducker

³⁹ Das

⁴⁰ Zhang

- [33] L. Zhang, Y. Zhang, X. Zhang, Z. Li, G. Shen, M. Ye, C. Fan, H. Fang, J. Hu, *Langmuir*, 22, 8109–8113, (2006).
- [34] Y. Li, W. Gao, L. Ci, C. Wang, P.M. Ajayan, *Carbon*, 48, 1124–1130, (2010).
- [35] M.A. Rahim, R.A. Hameed, M.W. Khalil, *J. Power Sources*, 134, 160–169, (2004).
- [36] R.K. Karlsson, A. Cornell, *Chem. Rev.*, 116, 2982–3028, (2016).
- [37] L. Luo, H.S. White, *Langmuir*, 29, 11169–11175, (2013).
- [38] Q. Chen, L. Luo, H.S. White, *Langmuir*, 31, 4573–4581, (2015).
- [39] S.K. Mazloomi, N. Sulaiman, *Renew. Sustain. Energy Rev.*, 16, 4257–4263, (2012).
- [40] S. Mao, Z. Wen, T. Huang, Y. Hou, J. Chen, *Energy Environ Sci*, 7, 609–616, (2014).
- [41] Q. Chen, L. Luo, H. Faraji, S.W. Feldberg, H.S. White, *J. Phys. Chem. Lett.*, 5, 3539–3544, (2014).
- [42] Q. Chen, H.S. Wiedenroth, S.R. German, H.S. White, *J. Am. Chem. Soc.*, 137, 12064–12069, (2015).
- [43] A.M. Soto, S.R. German, H. Ren, D. van der Meer, D. Lohse, M.A. Edwards, H.S. White, *Langmuir*, 34, 7309–7318, (2018).
- [44] M.A. Edwards, H.S. White, H. Ren, *ACS Nano*, 13, 6330–6340, (2019).
- [45] Q. Chen, L. Luo, *Langmuir*, 34, 4554–4559, (2018).
- [46] Q. Chen, R. Ranaweera, L. Luo, *J. Phys. Chem. C*, 122, 15421–15426, (2018).
- [47] Y.A. Perez Sirkin, E.D. Gadea, D.A. Scherlis, V. Molinero, *J. Am. Chem. Soc.*, 141, 10801–10811, (2019).
- [48] L. Luo, H. Xu, X. Sun, J. Qin, D. Zhou, F. Chen, L. Luo, A. Kumar, C. Wang, X. Lin, S. Sheng, W. Xu, Z. Shang, *Langmuir*, 36, 11422–11428, (2020).
- [49] M. Foroutan, S.M. Fatemi, F. Esmaeilian, V.F. Naeini, *Langmuir*, 34, 14085–14095, (2018).
- [50] H. Yaghoubi, M. Foroutan, *Phys. Chem. Chem. Phys.*, 20, 22308–22319, (2018).
- [51] F. Akbari, M. Foroutan, *Phys. Chem. Chem. Phys.*, 20, 4936–4952, (2018).
- [15] S. Liu, S. Oshita, S. Kawabata, Y. Makino, T. Yoshimoto, *Langmuir*, 32, 11295–11302, (2016).
- [16] S. Calgaroto, A. Azevedo, J. Rubio, *Miner. Eng.*, 89, 24–29, (2016).
- [17] M. Fan, D. Tao, R. Honaker, Z. Luo, *Min Sci Technol*, 20, 641–671, (2010).
- [18] A. Agarwal, W.J. Ng, Y. Liu, *Chemosphere*, 84, 1175–1180, (2011).
- [19] A.J. Atkinson, O.G. Apul, O. Schneider, S. Garcia-Segura, P. Westerhoff, *Acc. Chem. Res.*, 52, 1196–1205, (2019).
- [20] Z.H. Wu, H.B. Chen, Y.M. Dong, H.L. Mao, J.L. Sun, S.F. Chen, J. Hu, *J. Colloid. Interface. Sci.*, 328, 10–14, (2008).
- [21] E.Y. Lukianova Hleb, E.Y. Hanna, J.H. Hafner, D.O. Lapotko, *Nanotechnology*, 27, 085102–085112, (2016).
- [22] J. Shao, M. Xuan, L. Dai, T. Si, J. Li, Q. He, *Angew. Chem. Int. Ed.*, 54, 12782–12787, (2015).
- [23] Z. Qin, J.C. Bischof, *Chem. Soc. Rev.*, 41, 1191–1217, (2012).
- [24] A.O. Govorov, W. Zhang, T. Skeini, H. Richardson, J. Lee, N.A. Kotov, *Nanoscale Res. Lett.*, 1, 84–90, (2006).
- [25] G. Baffou, H. Rigneault, *Phys. Rev. B*, 84, 035415–035428, (2011).
- [26] M. Foroutan, M. Darvishi, S.M. Fatemi, *Phys. Rev. E*, 96, 1–10, (2017).
- [27] K. Sasikumar, P. Kebinski, *J. Chem. Phys.*, 141, 234508–234515, (2014).
- [28] S. Merabia, P. Kebinski, L. Joly, L.J. Lewis, J.L. Barrat, *Phys. Rev. E*, 79, 2–5, (2009).
- [29] J. Lombard, T. Biben, S. Merabia, *Phys. Rev Lett*, 112, 105701–105706, (2014).
- [30] S. Maheshwari, M. van der Hoef, A. Prosperetti, D. Lohse, *J. Phys. Chem. C*, 122, 20571–20580, (2018).
- [31] X. She, T.A. Shedd, B. Lindeman, Y. Yin, X. Zhang, *Int. J. Heat Mass Transf*, 95, 278–287, (2016).
- [32] D. Voiry, H.S. Shin, K.P. Loh, M. Chhowalla, *Nat. Rev. Chem*, 2, 0105–0122, (2018).

- [66] S.M. Fatemi, M. Foroutan, *J. Nanostructure Chem.*, 6, 29–40, (2016).
- [67] W.A. Ducker, *Langmuir*, 25, 8907–8910, (2009).
- [68] S. Das, J.H. Snoeijer, D. Lohse, *Phys. Rev. E*, 82, 1–24, (2010).
- [69] X. Zhang, M.H. Uddin, H. Yang, G. Toikka, W. Ducker, N. Maeda, *Langmuir*, 28, 10471–10477, (2012).
- [70] S.M. Fatemi, M. Foroutan, *Adv. Sci. Eng. Med.*, 6, 583–590, (2014).
- [71] S.M. Fatemi, M. Foroutan, *J. Iran. Chem. Soc.*, 12, 1905–1913, (2015).
- [72] M. Foroutan, N. Heidari, M. Mohammadlou, A.J. Sojahrood, *J. Chem. Thermodyn.*, 40, 1077–1081, (2008).
- [73] K.H. Babazadeh, M. Foroutan, *Appl. Surf. Sci.*, 495, 143628–143638, (2019).
- [52] Y. Liu, X. Zhang, *J. Chem. Phys.*, 141, 134702–134709, (2014).
- [53] J. Qian, V.S. Craig, M. Jehannin, *Langmuir*, 35, 718–728, (2019).
- [54] S. Maheshwari, M. van der Hoef, X. Zhang, D. Lohse, *Langmuir*, 32, 11116–11122, (2016).
- [55] V.B. Svetovoy, I. DeviĆ, J.H. Snoeijer, D. Lohse, *Langmuir*, 32, 11188–11196, (2016).
- [56] D. Dockar, M.K. Borg, J.M. Reese, *Langmuir*, 35, 9325–9333, (2018).
- [57] M. DI, Jasma, 20, 252–263, (2003).
- [58] T.V. Quoc, H. Nguyen Dac, T. Pham Quoc, D. Nguyen Dinh, T. Chu Duc, *Microsyst. Technol.*, 21, 911–918, (2015).
- [59] J. Han, J. Zhang, J.W. Carey, *Int. J. Greenh. Gas Control*, 5, 1680–1683, (2011).
- [60] Z. Liu, W. Ma, M. Zhang, Q. Zhang, R. Xiong, C. Huang, *J. Appl. Polym. Sci.*, 136, 1–8, (2019).
- [61] A.K. Kota, G. Kwon, W. Choi, J.M. Mabry, A. Tuteja, *Nat. Commun.*, 3, 1–8, (2012).
- [62] C. Zhou, J. Cheng, K. Hou, A. Zhao, P. Pi, X. Wen, S. Xu, *Chem. Eng. J.*, 301, 249–256, (2016).
- [63] J. Park, S. Woo, S. Kim, M. Kim, W. Hwang, *ACS Omega*, 4, 18304–18311, (2019).
- [64] M. Darvishi, M. Foroutan, *RSC Adv.*, 6, 74124–74134, (2016).
- [65] A.T. Nasrabadi, M. Foroutan, *J. Phys. Chem. B*, 114, 15429–15436, (2010).

A review on nanobubbles: Methods of production, characterizations and computational studies

Nanobubbles are nano-scaled bubbles that can form on solid surfaces or in solution. Therefore, they have important applications in many physical, chemical, and biological processes. Understanding the fundamental properties of nanobubbles like stability, growth, and solubility can provide more applications for them. In recent years, many experimental and theoretical studies have been performed on nanobubbles. In this review article, different methods for producing nanobubbles and also about their applications, stability, lifetime have been presented from experimental and computational approaches, especially from molecular dynamics simulation approach.

Keywords: Nanobubbles, Stability of nanobubbles, Molecular dynamics simulation.